

# 遡上津波に対する陸堤の効果に関する研究\*

岩崎敏夫\*\*・富樫宏由\*\*\*

## 1. はしがき

筆者らは一昨年来、長波と構造物との相互作用の究明という一般的視野に立って、遡上津波対策構造物という問題を明らかにするつもりで、まず第一に遡上津波の鉛直岸壁での変形ならびに陸上への遡上に関して研究を行なってきた<sup>1)</sup>。これについてはある程度の成果が得られたものと思われる。ところで津波対策として、三陸沿岸には越流を許さないというつもりで防浪陸堤を湾岸にめぐらしている例が往々に見られる。その天端高は既往の津波の最高痕跡にとられている。この場合はたしてこれで津波の越流が防げるのかという疑問が生じる。

本論文はこのような陸堤の遡上津波に対する効果について、理論および実験的に研究を行なったものである。

陸上での底面まさつを無視した場合の陸上への遡上津波の波形を求める方法については、碎ける場合に Shen-Meyer<sup>2)</sup> が一様な傾斜海岸における先端の移動を解析的にくわしく論議し、Amein<sup>3)</sup> はこれをさらに発展させたかたちで実際に計算して一様な傾斜海岸における波形を求めた。また、碎けないで遡上する場合については、Carrier-Greenspan<sup>4)</sup> は一様な傾斜海岸における波形が解析的に求められることを示し、首藤<sup>5)</sup> はラグランジ型の方程式を運動法で解いて、やはり一様な傾斜海岸における波形が求められることを示した。また、陸上での底面まさつを考慮した場合の遡上津波の波形を求める方法については、Freeman-LeMéhauté<sup>6)</sup> の方法があるが、本論文では筆者らの提案した方法で岸壁直前における部分重複波を求めたのちに、上述の Freeman-LeMéhauté の方法を用いて鉛直岸壁から水平な陸上への遡上波形を実際の計算例で図示して実験結果と比較検討した<sup>1)</sup>。

以上に、津波を有限振幅の長波と見做した場合、非線形浅水理論式の解として遡上波形がある程度理論的に求められることを述べてきた。したがって、津波のような長波が陸上に遡上した場合、任意の場所の波高と流速がわかれば、構造物に対する津波の作用も解明できるものと考えられる。

そこで、上述のように陸上任意の場所、時間における遡上津波の波高、流速がわかっている場合に、それが直立堤に衝突したとき一部は段波となって反射し、一部は堤頂を越流する現象に関して検討した。その結果、理論と実験結果の比較的よい一致が見られたのでここに報告する次第である。

## 2. 理 論

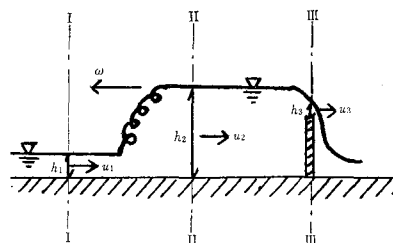
### (1) 直立堤に対する遡上津波の挙動

後の実験で示されるように、射流状で侵入してきた遡上波の先端が直立堤に衝突した瞬間、波は高速噴流となって堤面に沿って打上げ、堤頂よりはるかに高く飛沫となって空中に放出されて越流する。ついで、落下した飛沫の一部は後続する衝突波と一緒にになって初めて反射段波が形成され、もし反射波高より堤高が低ければその一部が堤頂を越流する。反射段波の高さと速度は、段波前面の遡上波と後面の越流量との間で平衡をとりながら変化しているよう見える。

### (2) 理論的解析

上述のような現象について、図-1 のようなある瞬間ににおける現象模型の解析を行なう。

図-1 断面と記号のとり方



断面 [I-II] 間には shock condition を適用すれば、

$$h_1(u_1 - \omega) - h_2(u_2 - \omega) = 0 \quad \dots \dots \dots (1)$$

$$u_1 h_1(u_1 - \omega) - u_2 h_2(u_2 - \omega) = \frac{g}{2} (h_2^2 - h_1^2) \quad \dots \dots \dots (2)$$

また、断面 [II-III] 間にはエネルギーの式と連続の式を適用すれば、

$$h_2 + \frac{u_2^2}{2g} = h_3 + H_d + \frac{u_3^2}{2g} \quad \dots \dots \dots (3)$$

$$u_2 h_2 = u_3 h_3 \quad \dots \dots \dots (4)$$

さらに、断面 III では限界水深になるとすれば、

\* 本論文の一部は、本年 5 月の「第 22 回年次学術講演会講演概要」に同じ題目ですでに発表した。

\*\* 正会員 工博 東北大学教授

\*\*\* 正会員 工修 東北大学助手

$$h_3 = \sqrt[3]{\frac{(u_3 h_3)^2}{q}} \dots \dots \dots (5)$$

式(1), (2)より得られる  $\omega < 0$  として,

ところで、式(1)から(5)までの5個の方程式に對して、未知数は、 $h_1, u_1, h_2, u_2, h_3, u_3, \omega, H_d$ の8個だから、そのうち3個はあらかじめ与えられていないければならない。

いま、 $h_1, u_1, H_d$  を既知とすれば、式(1)～(5)より、 $u_2, h_3, u_3, \omega$  を消去して、 $h_2$  (または  $x_2 = h_2/h_1$ ) に関する次式を得る。

$$z = x_2 + \frac{1}{2}y^2 - \frac{3}{2}(x_2 y)^{2/3} \quad \dots \dots \dots (7)$$

アリで、

$$x_2 = \frac{h_2}{h_1}$$

$$y = F_1 - Y, \quad \left[ Y = (x_2 - 1) \sqrt{\frac{1}{2} \left( 1 + \frac{1}{x_2} \right)} \right]$$

$$z = \frac{H_d}{h_1}$$

である。

式(4)で越流量が0または正なることより、また式(6)で反射段波の伝播速度が0または負なることより、 $F_1$ にはつぎの制限が加えられる。

$$(x_2 - 1) \sqrt{\frac{1}{2} \left( 1 + \frac{1}{x_2} \right)} \leq F_1 \leq x_2 \sqrt{\frac{1}{2} \left( 1 + \frac{1}{x_2} \right)}$$

また、式(7)、(8)より  $x_2$  が求まるから、式(3)～(5)より、 $u_2, u_3$  を消去すれば、 $h_1, h_2, H_d$  を既知として、 $h_3$ （または  $x_3 = h_3/h_1$ ）に関するつぎの3次方程式を得る。

$$x_3^3 - 3x_2^2x_3 + 2x_2^2(x_2 - z) = 0 \quad \dots \dots \dots (9)$$

したがって、式(7)～(9)より侵入波の  $h_1$ ,  $u_1$  と堤高  $H_d$  が与えられれば、その他の必要な水理量は求められる。

ところで、式(7)を  $x_2$ について解くことは非常に面倒だから、 $x_2, z$  のいずれか一方を parameter として数値計算したときの  $[x_2 \sim F_1]$  または  $[z \sim F_1]$  の関係を図示すると 図-2 のようになる。

図中点線で示される曲線のうち、 $x_{2(L)}=z_{(L)}$  は式(8)の左側の等号が成立つときで堤頂越流量が 0 すなわち完全反射する場合で、 $x_2$  の下限を表わす。また、 $x_{2(U)}$  は式(8)の右側の等号が成立つときで  $\omega=0$  すなわち跳水現象が起きる場合で、 $x_2$  の上限を表わす。この  $x_{2(U)}$  に相応する  $z_{(U)}$  は、シルのある水平水路の跳水に対して筆者の一人岩崎が導いた式<sup>7)</sup>と全く同じものである。

つぎに式(9)については、 $x_2(L)=z(L)$ に相応する  
 $x_3(L)=0$ なることより、3根のうち正の最小根が求める  
 根でありつぎのように解かれる。

$$x_3 = 2 x_2 \cos\left(\frac{\theta}{3} + \frac{4\pi}{3}\right) \dots \dots \dots \quad (10)$$

ただじ

図-2  $[x_2 \sim F_1]$ ,  $[z \sim F_1]$  数値計算図

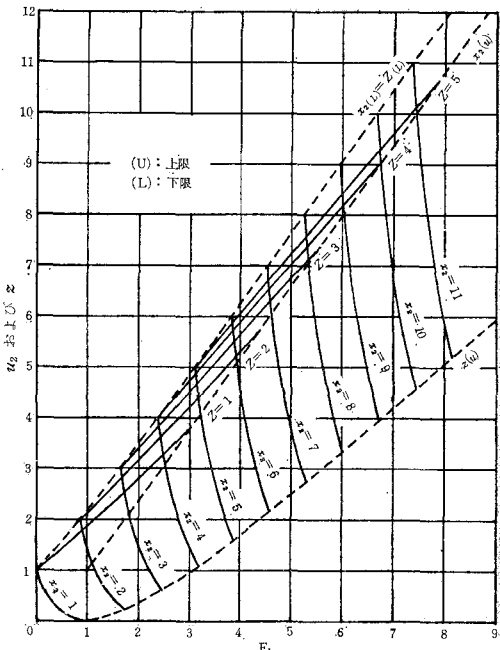
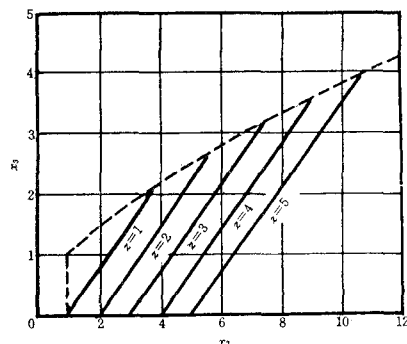


図-3  $[x_3 \sim x_2]$  数値計算図



$$\cos \theta = -\frac{x_2 - z}{x_2}, \quad \frac{\pi}{2} \leq \theta \leq \pi$$

$$\therefore 0 \leq \frac{x_2 - z}{x_2} \leq 1$$

そこで図-2にならって、たとえば $z$ を parameter として数値計算したときの  $[x_3 \sim x_2]$  の関係を図示すると図-3のようになる。

### 3. 實驗

図-4 に示すように、実験水路は前報<sup>1)</sup>に示したものと同一であって、長さ 23.0 m、幅 0.5 m、高さ 0.5 m の二次元波動水路である。また、長さ 10.0 m、幅 0.5 m、高さ 0.312 m の全面真ちゅう製の鉛直岸壁模型の上に、直立堤模型として、高さがおのの 3, 5, 7.5, 10, 12.5 cm で、長さが水路全幅にわたる 5 種類の L 型鋼を用いた。

16 mm カメラ1台を用いて、24コマ/secの速さで直立

図-4 実験装置概略

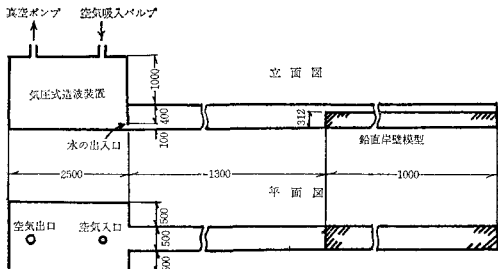
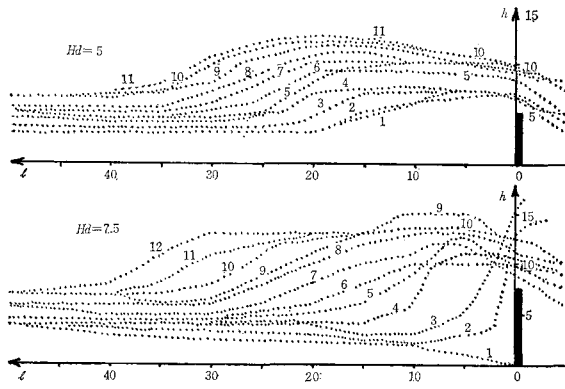


図-5 波形の時間変化



堤近傍の波形の時間的変化を撮影し、profile-projector で 1 コマずつの波形を読みとった。その一例を 図-5 に示す。実験波は波長 5~10 m の孤立波を与えた。

#### 4. 理論の実験結果による検討

### (1) 式(7)の検討

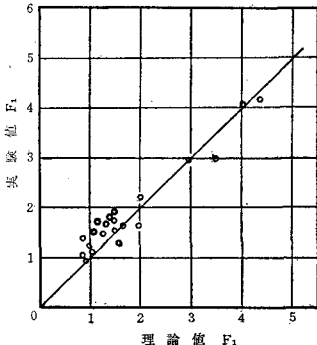
いま、 $h_1$ ,  $h_2$ ,  $H_d$  の実測値を用いて、 $u_1$  (あるいは  $F_1 = u_1 / \sqrt{gh_1}$ ) を式 (7) より計算し、これと  $u_1$  (あるいは  $F_1$ ) の実験値とを比較検討することにする。 $u_1$  は直接測定するのが困難なので、反射段波の相対伝播速度  $\omega$  の実測値から式 (6) により計算して求めた。

図-6 はその結果であるが、理論値と実験値は比較的よい一致を示している。

## (2) (10)式の検討

上と同様に、いま  $h_1, h_2, H_d$  を既知として、 $x_3$ の式

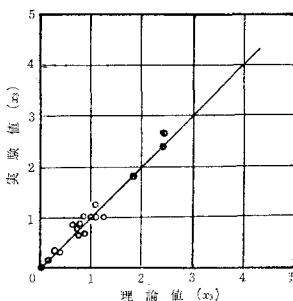
図-6  $F_1$  の比較



(10)による理論値と実験値を比較したのが図-7である。図-6と同様に、理論値と実験値はかなりよく一致している。

以上は、 $H_d$  が  
5 cm 以上で shock  
condition が成立  
する場合について

図-7  $x_3$  の比較



の結果である。 $H_d$  が 3 cm 程度になると反射波の波頭は波状跳水のような形状を呈し、実験値のバラツキも大きくなつた。 $H_d$  がこれより低いと shock condition は成立せず、遡上津波は直立堤をのり越えて烈しい流速を

## 5. むすび

陸上への遡上津波の任意の場所と時間における波高  $h_1$ , 流速  $u_1$  と陸堤の高さ  $H_d$  が与えられれば, その他の必要な水理量は, たとえば  $h_2$  なら式(7)より,  $h_3$  なら式(10)より, 近似的に求められることがわかった。

本研究の結果、図-2 の  $z=1$  の曲線で示されるように、従来痕跡高に一致して設置された防浪陸堤は、 $F_1 > 0$  のすべての遡上津波に対して越流を許し、反射段波の波高は  $F_1 \approx 3$  に対し、侵入波高の約 3.8 倍に達することがわかる。図-2 はこの見地から、遡上津波を完全に阻止するためには、その Froud 数  $F_1$  に応じてとるべき防浪堤の高さ ( $H_d = z \cdot h_1$ ) を求めることに用いられる。

しかしながらこの図でわかるように、それはかなり大きくて津波対策上問題であると考えられる。確かに高い防浪堤によって海岸と背後地とを遮断することは、日常の経済活動や生活の便利の上に少なからぬ犠牲であることは疑い難い。

最後に本研究は、昭和41年度文部省試験研究費「津波の湾内変形に関する研究」の助成を受けた。ここに記して謝意を表したい。

参 考 文 献

- 1) 岩崎敏夫・富樫宏由: 水平な陸上への津波の週上に関する研究, 第13回海岸工学講演会講演集, 昭41.12, pp. 223~229.
  - 2) Shen, M.C. and R.E. Meyer: Climb of a Bore on a Beach, Part 3. Run-up, Jour. of Fluid Mechanics, Vol. 16, 1963, pp. 113~125.
  - 3) Amein, M.: Long Waves on a Sloping Beach and Wave Forces on a Pier Deck; U.S.-Japan Cooperative Sientific Research Seminars on Tsunami Run-up, 1965. 4, No. 1.
  - 4) Carrier, G.F. and H.P. Greenspan: Water Waves of Finite Amplitude on a Sloping Beach; Jour. of Fluid Mechanics, Vol. 4, 1958, pp. 97~112.
  - 5) 首藤伸夫: 長波のうちあげ高; 第13回海岸工学講演会講演集, 昭41.12, pp. 216~222.
  - 6) Freeman, J.C. and B.L. Méhauté: Wave Breakers on a Beach and Surges on a Dry Bed, Proc. of the A.S.C.E., Vol. 90, No. HY2, 1964. 3, pp. 187~216.
  - 7) 岩崎敏夫: 余水吐の減勢装置について; 技術者のための最近の水工学, 土木学会東北支部, 昭36.11, pp. 62, または, 水理公式集, pp. 219.